

ارزیابی حساسیت ژئودایورسیتی در حوضه آبریز بابلرود، استان مازندران

رضا اسماعیلی* - دانشیار ژئومورفولوژی، گروه جغرافیا، دانشکده علوم انسانی و اجتماعی، دانشگاه مازندران.
پرستو خوشخو - کارشناسی ارشد ژئومورفولوژی، گروه جغرافیا، دانشکده علوم انسانی و اجتماعی، دانشگاه مازندران.

پذیرش مقاله: ۱۴۰۲/۰۳/۲۱ تأیید نهایی: ۱۴۰۲/۰۹/۲۱

چکیده

ژئودایورسیتی (تنوع زمینی) گوناگونی محیط غیرزنده زمین است که پایه اغلب فعالیت‌های انسانی و حیات اکوسیستم محسوب می‌شود. گسترش فعالیت‌های انسانی و تخریب این محیط بی‌جان مهم‌ترین عوامل تهدیدکننده ژئوسیستم و اکوسیستم محسوب می‌شود. هدف این تحقیق ارزیابی کمی ژئودایورسیتی و تعیین حساسیت‌پذیری آن بوده است که به صورت نمونه در حوضه آبریز بابلرود در استان مازندران موردمطالعه قرار گرفته است. برای ارزیابی کمی ژئودایورسیتی از چهار شاخص اصلی زمین‌شناسی، ژئومورفولوژی، خاک‌شناسی و هیدرولگرافی استفاده شد و تعداد عناصر در شبکه‌های مربعی $1/5 \times 1/5$ کیلومتری شمارش شدند. سپس شاخص تهدید با استفاده از نقشه کاربری اراضی و روش همروبی طبقه‌بندی شد. با ترکیب این دو عامل نقشه نهایی حساسیت ژئودایورسیتی حاصل شد. ۲۳ درصد از مساحت حوضه در طبقات تنوع زمینی بسیار زیاد و زیاد قرار گرفته‌اند. نیمه جنوبی حوضه خصوصاً جنوب شرقی حوضه بیشترین تنوع زمینی را دارد. از میان شاخص‌ها در نقشه ژئودایورسیتی، شاخص ژئومورفولوژی با مقدار میانگین $44/5$ درصد بیشترین تأثیر را نسبت به سایر شاخص‌ها دارا بوده است. در نقشه حساسیت ژئودایورسیتی، قسمت‌های جنوبی و شرقی حوضه با تنوع زمینی بالا و به ترتیب با کاربری‌های مرتع و دریاچه سد البرز در طبقه بیشترین حساسیت قرار گرفته‌اند. تلفیق دو نقشه ژئودایورسیتی و شاخص تهدید می‌تواند اطلاعات بسیار مفیدی را به صورت یکپارچه فراهم نماید تا برای مدیریت سرزمینی، برنامه‌ریزی و حفاظت مورداستفاده قرار گیرد.

واژگان کلیدی: ژئودایورسیتی، شاخص همروبی، مازندران، حوضه بابلرود.

مقدمه

ژئودایرسیتی به معنی تنوع زمینی، برای گوناگونی اجزاء غیرزنده محیطی سطح زمین به کار می‌رود. استفاده از این اصطلاح از سال ۱۹۹۳ اندکی پس از کنوانسیون تنوع زیستی ریودوژانیرو (۱۹۹۲) تو سط دانشمندان علوم زمین (مانند شارپلز^۱ ۱۹۹۳) شروع شد. ژئودایرسیتی مشتمل بر تنوع عناصر زمین‌شناسی (کانی‌ها، سنگ‌ها و فسیل‌ها)، ژئومورفولوژی (لندرم‌ها، توبوگرافی و فرایندهای فیزیکی)، خاک و عوارض هیدرولوژیکی است و علاوه بر گوناگونی، مجموعه‌ها، ساختارها، سیستم‌ها و مشارکت آنها در چشم‌انداز را هم شامل می‌شود (گری^۲، ۲۰۱۳). ژئودایرسیتی بستر تنوع زیستی را فراهم می‌آورد و تأثیر مهمی در گسترش اکوسیستم‌ها از مقیاس‌های کوچک تا قاره‌ای دارد (جورت^۳ و همکاران، ۲۰۱۵). خدمات متعدد اکوسیستم به صورت مستقیم و غیرمستقیم به اجزاء غیرزنده زمین و تنوع آنها بستگی دارد. این خدمات در طبقه اصلی، شامل خدمات تولیدی، تنظیمی، فرهنگی و پشتیبانی قرار می‌گیرند (MEA ۲۰۰۵).

اگرچه بخشی از این خدمات که صرفاً به منابع زمین‌شناسی و ژئومورفولوژی مرتبط می‌شوند به عنوان خدمات ژئوسیستم معروف شده‌اند (وانری و وان بوکرینگ^۴، ۲۰۱۶). تنوع زمینی علاوه بر تأثیر بسیار زیادی که بر اکوسیستم دارد به صورت مستقل هم ارزشمند هستند (جانکowski^۵ و همکاران، ۲۰۲۰) و اهمیت زیادی برای فعالیت‌های ژئوتوریسم، حفاظت زمین، ایجاد ژئوپارک‌ها و میراث زمینی دارند (کوراتزا^۶ و همکاران، ۲۰۱۸).

با توجه به اهمیت و منافع تنوع زمینی، طی سال‌های اخیر مطالعات متعددی برای ارزیابی ژئودایرسیتی صورت گرفته است. (سرانو و روئیزفلانو^۷، ۲۰۰۷، بنتیو کالو^۸ و همکاران ۲۰۰۹، جورت و لوتو^۹، ۲۰۱۰، پریرا^{۱۰} و همکاران ۲۰۱۳، سیلوا^{۱۱} و همکاران ۲۰۱۳، کت و لسنسیاک^{۱۲}، ۲۰۱۷، گونکالوز^{۱۳} و همکاران ۲۰۲۰، زاخاروفسکی و نمث^{۱۴}، میسیک پونجیگر^{۱۵} و همکاران ۲۰۲۱، کاریون مرو^{۱۶} و همکاران ۲۰۲۲، مانوسو^{۱۷} و همکاران ۲۰۲۲، و ناجور^{۱۸} و همکاران ۲۰۲۲). این روشها شاخص‌های ژئودایرسیتی را به صورت کمی مورد ارزیابی قرار داده‌اند. در چند منطقه از ایران هم ژئودایرسیتی توسط تعدادی از محققین به صورت کمی ارزیابی شده است که می‌توان به کارهای انجام شده در حوضه‌های شمال غربی استان فارس (گلی مختاری و همکاران، ۱۳۹۷)، ژئوپارک پیشنهادی غرب خراسان (شایان یگانه و همکاران، ۱۳۹۹)، شمال استان ایلام (احمدی و همکاران، ۲۰۲۱)، حوضه‌های مشرف به دریاچه نمک و حوض سلطان (صالحی‌پور و همکاران، ۱۴۰۱)، بالادست سد کرج (قهروندی تالی و همکاران، ۱۴۰۱)، حوضه آبریز درونگر خراسان رضوی (باتجربه و همکاران، ۱۴۰۱)، حوضه نورآباد استان فارس (نصیری و همکاران، ۲۰۲۲) و شمال غرب کوه‌های زاگرس (احمدی و همکاران، ۱۴۰۱).

1. Sharples
2. Gray
3. Hjort
4. Millennium Ecosystem Assessment
5. Van Ree & Van Beukering
6. Jankowski
7. Coratza
8. Serrano & Ruiz-Flaño
9. Benito-Calvo
10. Hjort & Luoto
11. Pereira
12. Silva
13. Kot & Lešniak
14. Gonçalves
15. Zakharovskyi & Németh
16. Micić Ponjiger
17. Carrión-Mero
18. Manosso
19. Najwer

همکاران، ۲۰۳۲) ا شاره کرد. برخی از این تحقیقات انجام شده در خصوص تنوع ژئومورفولوژیکی (ژئومورفودایورسیتی) است که می‌توان به کارهای باتجربه و همکاران (۱۳۹۶) در شهرستان مشهد، مقصدی و همکاران (۱۳۹۸) برای قله دماوند و مختاری و همکاران (۱۴۰۱) در کوهستان میشو در شمال غرب ایران، اشاره کرد.

گسترش انواع فعالیتهای انسانی در سطح زمین به عنوان تهدیدی برای تنوع زمینی و زیستی محسوب می‌شود. با تخریب و کاهش ژئوایورسیتی، در واقع بخش غیرزنده اکوسیستم که پایه تنوع زیستی است دچار تخریب و نابودی می‌شود. مهم‌ترین تهدیدات انسانی برای ژئوایورسیتی عبارتند از گسترش مناطق شهری، نفوذناپذیر شدن خاک‌ها، تخریب زمین (بیان زایی، جنگل‌زدایی، کشت مت مرکز و غیره)، فشار ناشی از گردشگری، معدن‌کاری، احداث سد و مدیریت و مهندسی رودخانه که می‌تواند اثرات منفی ملموس یا غیرملموس بر ژئوایورسیتی داشته باشد.

همان‌طور که در بالا اشاره شد، اغلب تحقیقات انجام شده بر ارزیابی ژئوایورسیتی مرکز شده و اثرات تخریب و تهدیدات انسانی در آنها مورد توجه قرار نگرفته است؛ لذا تحقیقات بسیار کمی از ارزیابی اثرات انسانی بر ژئوایورسیتی در سطح جهان انجام شده است که می‌توان به کارهای زیر اشاره کرد. فرر-والرو^۱ و همکاران (۲۰۱۷) اثرات ناشی از توسعه شهری و گردشگری را بر ژئوایورسیتی لندرم‌های ساحلی در جزایر قناری به صورت کمی ارزیابی کردند. نتایج کار آنها نشان داد که فعالیتهای انسانی به میزان ۳۲ درصد موجب کاهش تنوع زمینی شده است. سانتوس^۲ و همکاران (۲۰۱۷) با استفاده از تفسیر عکس‌های هوایی و تهیه نقشه گسترش شهر، اثرات رشد شهر را بر ژئوایورسیتی در ریودوژانیرو (برزیل) به صورت کمی بررسی کردند. بتارد و پالواست^۳ (۲۰۱۹) شاخص‌های ژئوایورسیتی را با شاخص‌های تهدیدات انسانی (بیان زایی و کاربری اراضی) به صورت یکپارچه در برزیل مورد ارزیابی قرار دادند و با ترکیب شاخص‌های ژئوایورسیتی و شاخص‌های تهدید کننده، نقشه حسا سیت ژئوایورسیتی را تهیه نمودند. بر این اساس، مناطق دارای ژئوایورسیتی بسیار زیاد که مورد تهدید فعالیتهای انسانی قرار گرفته است به عنوان نقطه داغ^۴ ژئوایورسیتی معرفی شدند.

دامنه‌های شمالی کوه‌های البرز از مناطق با تنوع زمینی بالا بوده و فعالیتهای گسترده انسانی در بخش‌های مختلف اقتصادی و گردشگری، موجب تغییرات زیاد کاربری اراضی شده است. از این‌رو، این تحقیق باهدف ارزیابی کمی ژئوایورسیتی و تلفیق آن با شاخص فعالیتهای انسانی، جهت تعیین حساسیت ژئوایورسیتی در حوضه آبریز بابلرود انجام شده است.

منطقه مورد مطالعه

حوضه آبریز بابلرود با مساحت ۱۴۹۳ کیلومترمربع در استان مازندران و جنوب شهر بابل واقع شده است (شکل ۱). منطقه مورد مطالعه در عرض‌های جغرافیایی ۳۶° تا ۳۳° شمالی و طول‌های جغرافیایی ۵۵° تا ۵۲° شرقی قرار دارد. بر اساس تقسیمات زمین‌شناسی نبوی (۱۳۵۵)، ۸۰ درصد مساحت حوضه در زون البرز و ۲۰ درصد آن در زون گرگان - رشت قرار گرفته است. سنگ‌شناسی حوضه شامل سازندهای دوران پالئوزوئیک تا کواترنر می‌شود. سازند شمشک (شیل، ماسه سنگ و لایه زغالی) و رسوبات کواترنری (عمدتاً نهشته‌های آبرفتی) در مجموع ۵۱ درصد مساحت حوضه را دربر گرفته‌اند.

حداکثر و حداقل ارتفاع این حوضه به ترتیب ۳۷۱۲ و ۰ متر از سطح دریای آزاد و میانگین ارتفاع حوضه ۷۶۷ متر است. واحدهای ناهمواری حوضه در سه کلاس دشت (تا ۲۰۰ متر)، تپه (۲۰۰ - ۵۰۰ متر) و کوهستان (بیش از ۵۰۰) قابل تفکیک

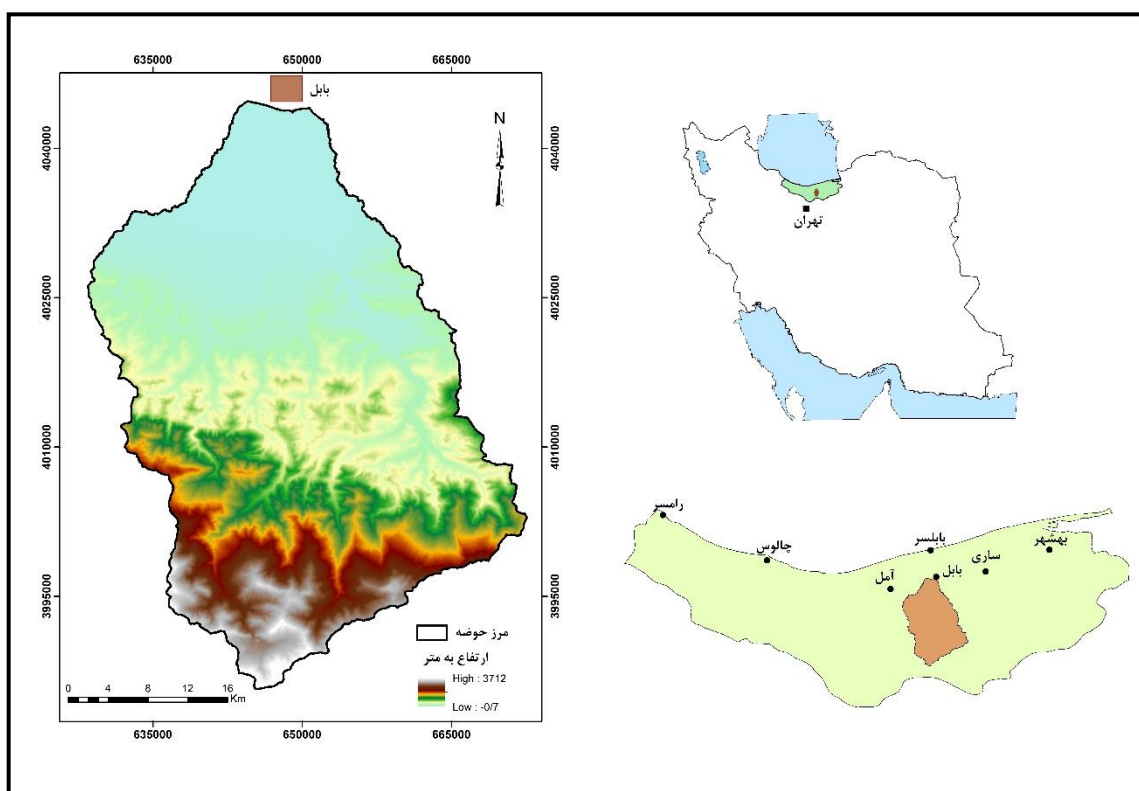
1. Ferrer-Valero

2. Santos

3. Bétard & Peulvast

4. Hotspot

است. بر اساس داده‌های ایستگاه‌های هواشناسی و باران‌سنجی حوضه و اطراف آن، میانگین بارش سالانه حوضه ۷۹۰ میلیمتر و میانگین دمای سالانه حوضه $13/3$ درجه سلسیوس محاسبه شده است. میانگین دبی سالانه رودخانه بابلرود در ایستگاه هیدرومتری کشتارگاه، ۱۶ مترمکعب در ثانیه اندازه‌گیری شده است. مناطق جنگلی با $58/6$ درصد از مساحت، پوشش غالب حوضه محسوب می‌شوند و بعد از آن کاربری زمین‌های کشاورزی و اراضی مرتعی به ترتیب با $23/6$ و 15 درصد از مساحت قرار دارند.



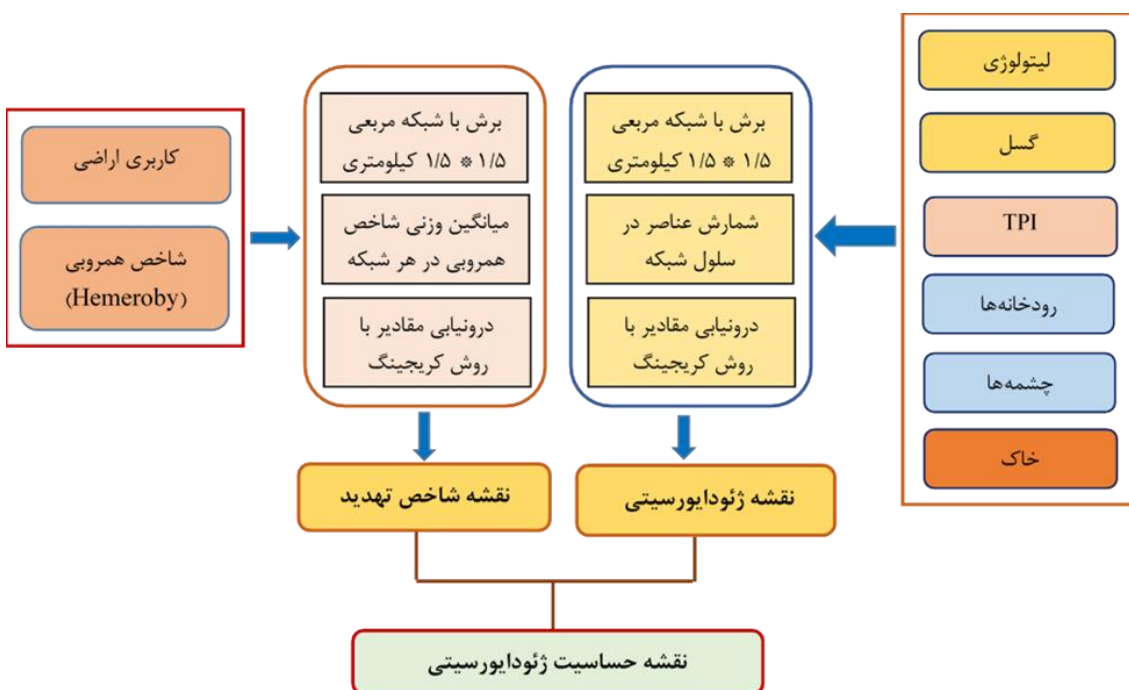
شکل ۱: نقشه موقعیت حوضه آبریز بابلرود در ایران و استان مازندران

روش تحقیق

در این تحقیق ارزیابی حساسیت ژئوایورسیتی در سه مرحله اصلی به شرح زیر انجام شد(شکل ۲):
مرحله اول: در این مرحله با استفاده از چهار شاخص اصلی زمین‌شناسی، ژئومورفولوژی، هیدرولوژی و خاک، ژئوایورسیتی حوضه مورد ارزیابی قرار گرفت. برای انجام این کار ابتدا یک شبکه مربعی با ابعاد هر مربع $1/5 * 1/5$ کیلومتر و در مجموع تعداد ۷۹۲ مربع متناسب با ابعاد حوضه تهیه شد. سپس لایه‌های اطلاعاتی مختلف، هر کدام به صورت جداگانه با این شبکه‌ها برش داده شدند و تعداد عناصر متفاوت هر لایه در هر شبکه در نرم‌افزار QGIS شمارش شد(شکل ۳).

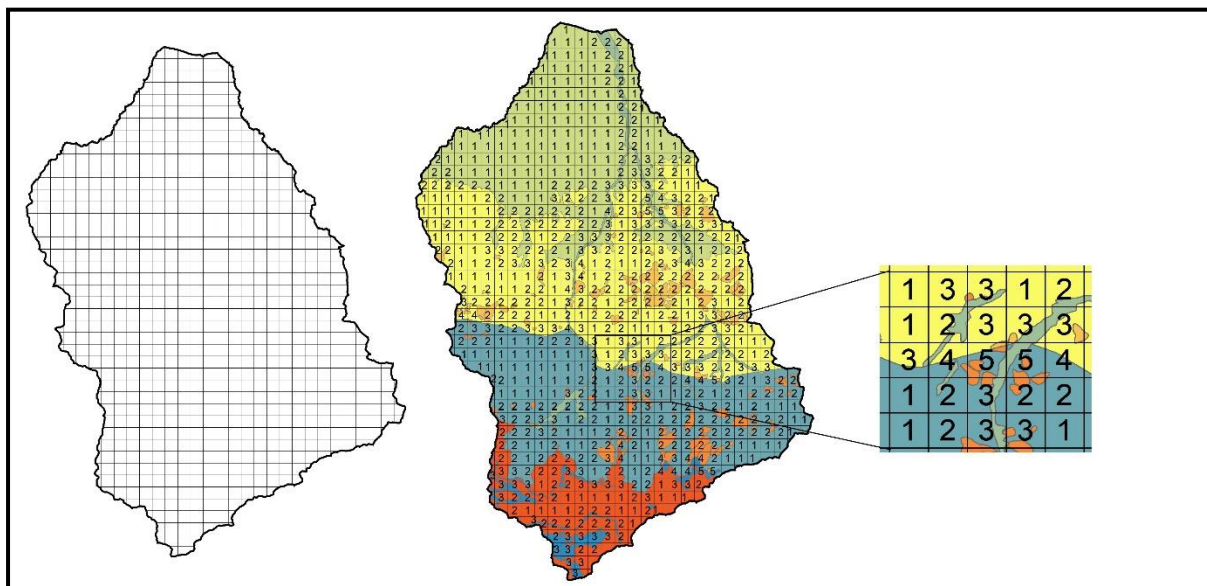
برای شاخص زمین‌شناسی از دو زیرشاخص لیتوولوژی و گسل استفاده شد این داده‌ها از نقشه‌های زمین‌شناسی قائم‌شهر و بابل با مقیاس ۱:۱۰۰۰۰۰ که توسط سازمان زمین‌شناسی کشور تهیه شده است استخراج گردید.

در شاخص ژئومورفولوژیکی، لندفرم‌ها با شاخص موقعیت توپوگرافی^۱ (TPI) و با استفاده از مدل ارتفاعی رقومی (DEM) با قدرت تفکیک ۲۸ متر SRTM در نرم‌افزار SAGA محاسبه شدند. شاخص TPI توسط گویسن^۲ و همکاران (۱۹۹۹) مطرح گردید. در این شاخص اختلاف ارتفاع نقطه مرکزی با میانگین ارتفاع اطراف در یک شعاع مشخص محاسبه می‌شود (گالانت و ویلسون^۳، ۲۰۰۰، ویس^۴، ۲۰۰۱، درو^۵ و همکاران ۲۰۱۳). این شاخص ابزار مفیدی برای طبقه‌بندی لندفرم‌ها محسوب می‌شود (ویس ۲۰۰۱، درو و همکاران ۲۰۱۳، مکرم و همکاران ۲۰۱۵). بر اساس این روش لندفرم‌ها به ۱۰ کلاس شامل یال‌های مرتفع، یال‌های محلی، آبراهه روی دامنه، برجستگی‌های روی دامنه، دامنه‌های باز، دشت،



شکل ۲: مراحل ارزیابی حساسیت ژئوایورسیتی در تحقیق حاضر

1. Topographic position index
2. Guisan
3. Gallant
4. Weiss
5. De Reu



شکل ۳: ایجاد شبکه‌های مربعی و شمارش عوارض در هر شبکه برای شاخص‌های مختلف ژئودایورسیتی

رودها، آبراهه‌های بالای دامنه، دامنه‌های بالایی و دره‌ها طبقه‌بندی می‌شوند. در روش فوق، وجود کلاس‌های مختلف در هر شبکه مربعی به عنوان شاخص در نظر گرفته شد.

در شاخص هیدروگرافی از دو زیرشاخص رودخانه‌ها و چشم‌های استفاده شد. شبکه رودخانه‌ها بر اساس روش رتبه‌بندی شبکه زهکشی استرال (۱۹۵۷) انجام شد و متضاد رودخانه‌ها استفاده شد. شبکه رودخانه‌ها بر اساس روش رتبه‌بندی حوضه که رتبه ۶ داشت امتیاز شش و به شبکه‌های فاقد رود امتیاز صفر داده شد. زیرشاخص چشم، بر اساس داده‌های وزارت جهاد کشاورزی (۱۳۹۲) به سه گروه طبقه‌بندی شدند.

نقشه خاک‌های منطقه بر اساس روش آمریکایی تاکسونومی خاک^۱ که در مطالعات منابع طبیعی و آبخیزداری حوضه با بل با مقیاس ۱:۵۰۰۰۰ تهیه شده است، مورد استفاده قرار گرفت (وزارت جهاد کشاورزی، ۱۳۹۲). بر اساس این طبقه‌بندی، انواع خاک‌های موجود در هر شبکه شمارش شدند.

بعد از انجام مراحل فوق، جمع مقادیر شش لایه مذکور محاسبه شد و لایه پلیگونی به لایه نقطه‌ای تبدیل شدند. این نقاط در مرکز هر شبکه قرار گرفتند با استفاده از روش کریجینگ معمولی درون‌یابی شدند و نقشه ژئودایورسیتی حوضه حاصل شد.

مرحله دوم: برای بررسی میزان دخلات و تخریب انسان در چشم‌انداز، نقشه کاربری اراضی حوضه که توسط وزارت جهاد کشاورزی (۱۳۹۲) در مقیاس ۱:۵۰۰۰۰ تهیه شد استفاده گردید. این نقشه به شاخص همروبی^۲ تبدیل شد و به عنوان یک لایه مورد استفاده قرار گرفت.

1. Soil Taxonomy
2. Hemeroby

اصطلاح هِمِروبی، اولین بار توسط جالاس^۱ (۱۹۵۵) گیاه‌شناس معرفی شد؛ ولی بعداً این مفهوم برای کل اکوسیستم اعمال شد (والز و استین^۲، ۲۰۱۴). براین‌اساس، هِمِروبی به مفهوم اندازه‌گیری تأثیر مداخلات انسانی بر اکوسیستم‌ها است. این شاخص بر اساس مقدار مداخلات انسان در کاربری اراضی به هفت کلاس طبقه‌بندی می‌شود (جدول ۱). کلاس‌های یک تا هفت، به ترتیب حالت کاملاً طبیعی تا تأثیر بسیار شدید انسانی را نشان می‌دهند. برای تهیه لایه شاخص هِمِروبی، ابتدا شاخص هِمِروبی وزن‌دار برای هر شبکه بر اساس رابطه زیر محاسبه شد (والز و استین^۳، ۲۰۱۴، توکیان^۴ و همکاران ۲۰۱۷).

$$M = \sum_{h=1}^n f_h * h$$

M : شاخص هِمِروبی، n : تعداد کلاس‌های هِمِروبی، f_h : نسبت طبقه n کلاس هِمِروبی است. رابطه فوق بر مساحت هر شبکه تقسیم شد تا میانگین وزنی هر شبکه بدست آید.

پس از محاسبه میانگین وزنی شاخص هِمِروبی در هر شبکه، مقادیر شبکه به لایه نقطه‌ای تبدیل شد و با درون‌یابی کریجینگ معمولی نقشه شاخص هِمِروبی حوضه تهیه شد.

مرحله سوم: پس از انجام مراحل یک و دو، دو لایه ژئوایورسیتی و لایه شاخص هِمِروبی در هم ضرب شدند و نقشه حساسیت ژئوایورسیتی منطقه حاصل شد و در پنج کلاس حساسیت طبقه‌بندی شدند.

جدول ۱: کلاس‌های کاربری اراضی با طبقه‌بندی هِمِروبی (والز و استین ۲۰۱۴)

درجه هِمِروبی	درجه طبیعی بودن	نوع پوشش سطح زمین و کاربری اراضی
Ahemerobic ۱	اغلب بدون اثرات انسانی	صخره‌ها، یخچال‌ها و برف‌های دائمی
Oligohemerobic ۲	اثرات انسانی ضعیف	جنگل‌های پنهان برگ، جنگل‌های سوزنی برگ، باتلاق‌های شور، منطقه جزرومدمی، جنگل‌های مخلوط، لاغونهای ساحلی، سواحل و تپه‌های ماسه‌ای، خورها، دریاها و اقیانوس‌ها، مرداب‌های داخلی، باتلاق‌ها
Mesohemerobic ۳	اثرات انسانی متوسط	جنگل‌های مخروطی (بالقوه غیرطبیعی)، جنگل‌های مخلوط (بالقوه غیر طبیعی)، محدوده انتقالی درختزارها و درختچه‌ها، مناطق با پوشش گیاهی تنک، علفزارهای طبیعی
α -Euhemerobic ۴	اثرات انسانی متوسط - زیاد	مناطق سبز شهری، مراتع، آبراهه‌ها، توده‌های آبی، زمین‌های اشغال شده به وسیله کشاورزی یا گیاهان طبیعی
β -Euhemerobic ۵	اثرات انسانی زیاد	تسهیلات ورزشی و اوقات فراغت، زمین‌های زراعی غیرآبی، تاکستان، الگوهای کشاورزی مرکب، درختان میوه و باغ‌ها
Polyhemerobic ۶	اثرات انسانی بسیار زیاد	بافت شهری ناپیوسته، استخراج معدن، مکان‌های ساخته شده، سایت‌های زباله
Metahemerobic ۷	اثرات انسانی بیش از حد زیاد و تخریب بیوسنوز	بافت شهری پیوسته، بنادر و فرودگاه‌ها، واحدهای تجاری و صنعتی، جاده‌ها و شبکه‌های راه‌آهن

1. Jalas

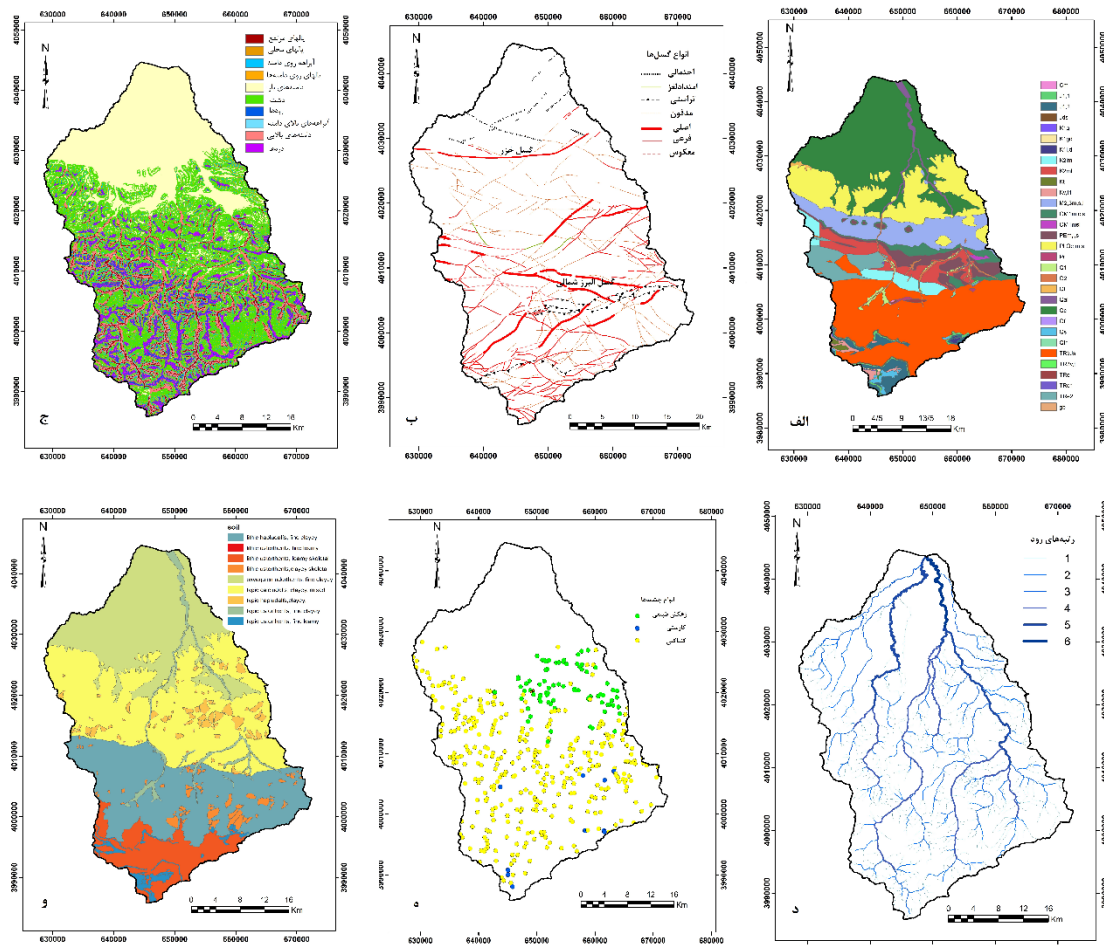
2. Walz & Stein

3. Tukiainen

بحث و یافته‌ها

برای ارزیابی ژئودایورسیتی حوضه مورد مطالعه شش لایه اطلاعاتی شامل لیتوژئی، گسل، شاخص موقعیت توپوگرافی (TPI)، شبکه زهکشی، انواع چشممه‌ها و انواع خاک مورد استفاده قرار گرفت (شکل ۴).

لیتوژئی: سنگ‌شناسی حوضه شامل انواع سنگ‌های کربناته (آهک و دولومیت) شیل و لایه‌های زغالی (سازند شمشک) و رسوبات کواترنری می‌شود این سنگ‌ها از نظر سن مربوط به دوره‌های پالئوزوئیک تا کواترنر می‌شوند. توالی انواع سنگ‌های مربوط به دوره‌های مختلف زمین‌شناسی موجب تنوع سنگ‌شناسی حوضه شده است. انواع سنگ‌ها در هر شبکه $1/5 * 1/5$ کیلومترمربع از ۱ تا ۹ متغیر بوده که در پنج کلاس بسیار کم تا بسیار زیاد طبقه‌بندی شدند (شکل ۵ الف). طبقات زیاد و بسیار زیاد در قسمت‌هایی از شرق و جنوب غربی حوضه قرار گرفته‌اند. بیش از ۸۶ درصد حوضه دارای تنوع لیتوژئیکی بسیار کم و کم هستند.

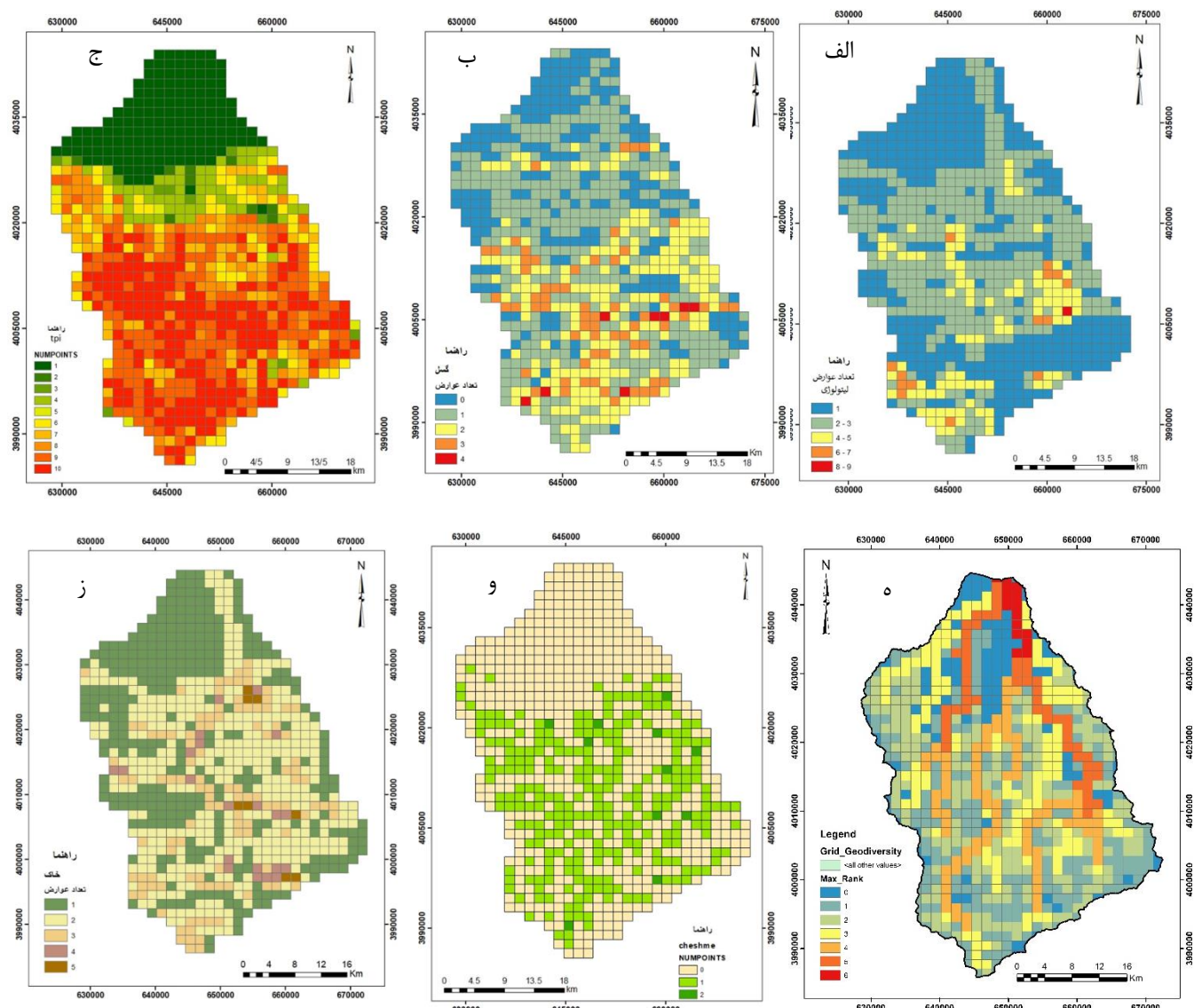


شکل ۴: لایه‌های اطلاعاتی حوضه آبریز بابلرود، الف) لیتوژئی، ب) TPI، ج) گسل، د) رتبه‌بندی رود، ه) خاک

گسل‌ها: قرارگیری حوضه بابلرود در زون البرز که خاستگاه تکتونیکی پیچیده‌ای دارد موجب ایجاد انواع گسل‌ها شده است که انواع مختلف آنها در منطقه شامل گسل‌های اصلی (گسل‌های خزر و البرز شمالی)، گسل‌های فرعی، رورانده،

امتدادلغز، معکوس، پنهان و محتمل است. بر اساس وجود انواع گسل در هر شبکه، این لایه به پنج طبقه از ۰ (بدون گسل) تا ۴ در شبکه طبقه‌بندی شدند. مناطق شمالی حوضه در گروه کم و بسیار کم و مناطق جنوبی در طبقات بالای تنوع قرار گرفته‌اند (شکل ۵ ب).

شاخص موقعیت توپوگرافی (TPI): این شاخص طبقه‌بندی لندرفم‌ها را نشان می‌دهد. حوضه مورد مطالعه بخشی از کوه‌های البرز شمالی بوده و دامنه تغییرات ارتفاعی آن از ۰ تا ۳۷۱۲ متر متغیر است. براین اساس نیمه جنوبی حوضه با ۷ تا ۱۰ لندرفم در هر شبکه در طبقات زیاد و بسیار زیاد تنوع لندرفم‌ها قرار گرفته و نیمه شمالی با ۱ تا ۴ لندرفم در هر شبکه در طبقات بسیار کم و کم، قرار گرفتند (شکل ۵ ج).



شکل ۵: فروانی عوارض شاخص‌های مختلف در حوضه آبریز بابلرود، (الف) تنوع سنگ‌شناسی، (ب) تنوع گسل، (ج) شاخص لندرفم (TPI)، (د) حداقل رتبه رود، (ه) تنوع چشم‌های، (ز) تنوع خاک‌ها

شاخص هیدروگرافی: شاخص هیدروگرافی شامل دو زیرشاخص شبکه رود و چشمه‌ها است. بالاترین رتبه رود بر مبنای روش استرالر در شبکه رودخانه‌های حوضه رتبه ۶ بوده است که در تزدیکی خروجی حوضه قرار گرفته است. مناطق بدون رود هم امتیاز صفر گرفته‌اند. امتیاز سایر رتبه‌ها در شکل ۵ (د) نشان داده شده است. چشمه‌های حوضه بر حسب منشأ به سه دسته زهکش طبیعی، تماسی (کنتاکتی) و کارستی طبقه‌بندی شدنده (جهاد کشاورزی، ۱۳۹۲) و تنوع این چشمه‌ها در هر شبکه مورد ارزیابی قرار گرفت. براین اساس به مناطق فاقد چشمه مقدار صفر داده شد و حداکثر مشاهده شده هم مقدار ۲ را کسب کردند (شکل ۵).

تنوع خاک‌ها: خاک‌های موجود در حوضه در نه گروه قرار گرفتند؛ اما تنوع آنها در هر شبکه مربعی از ۱ تا ۵ متغیر بوده است. مناطق با تنوع زیاد خاک در بخش‌هایی از مرکز و جنوب حوضه و مناطق با حداقل تنوع در شمال حوضه و بخش‌های از غرب حوضه قرار گرفته‌اند (شکل ۵ ز).

ژئوایورسیتی حوضه

مقادیر نقشه ژئوایورسیتی حوضه از ۴ تا ۳۱ متغیر بوده است که بر اساس روش شکست طبیعی به ۵ گروه طبقه‌بندی شدنده (جدول ۲ و شکل ۶). طبقات بسیار کم (۱۱-۱۶) و کم (۱۱-۱۶) در مجموع ۵۳ درصد از مساحت حوضه را شامل شده و عمدتاً در قسمت‌های شمالی حوضه قرار گرفته‌اند. طبقات زیاد (۱۸-۲۳) و بسیار زیاد (۲۳-۳۱) به ترتیب ۲۲/۳ و ۱ درصد از مساحت حوضه را شامل شده که بیشتر در قسمت‌های مرکزی و جنوب شرقی حوضه مشاهده می‌شوند (شکل ۶).

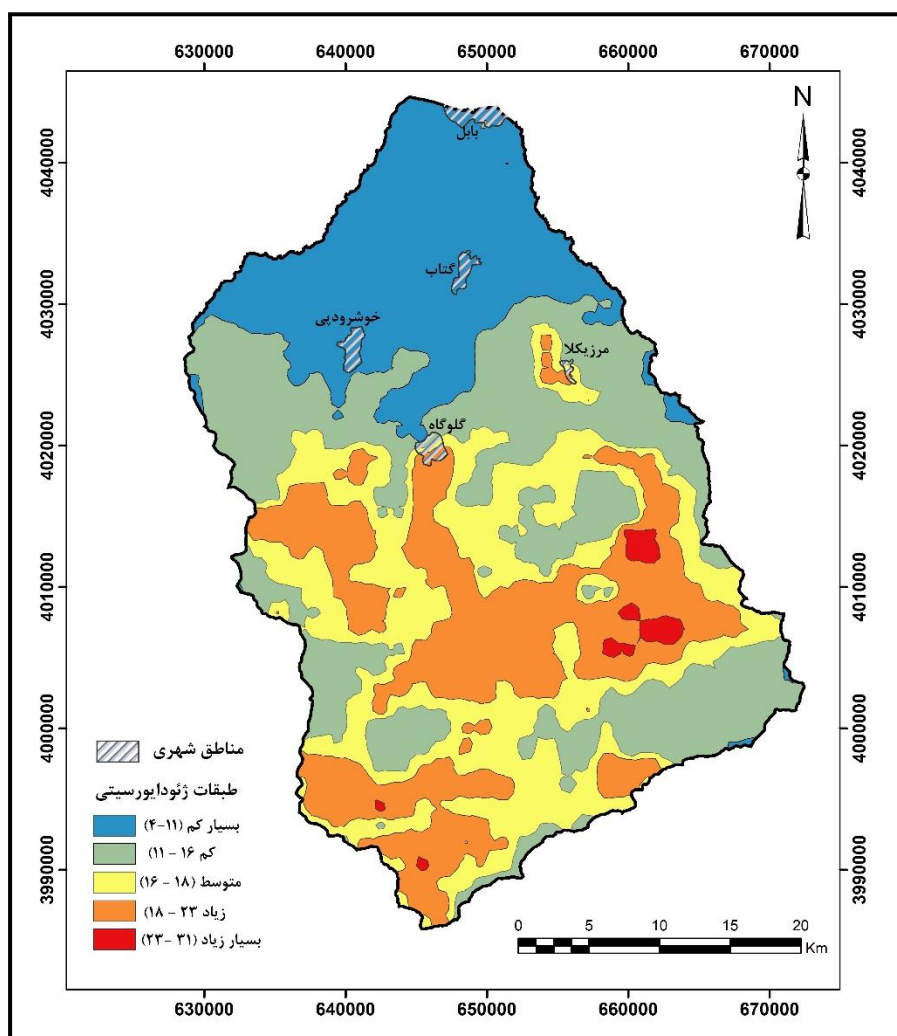
جدول ۲: طبقه‌بندی و مساحت ژئوایورسیتی در حوضه آبریز بابلرود

ردیف	طبقه	طبقه	توصیف طبقه	مساحت (Km ²)	درصد مساحت
۱	۴-۱۳	خیلی کم	خیلی کم	۳۳۸/۶۶	۲۲/۶۸
۲	۱۳-۱۶	کم	کم	۴۵۱/۳	۳۰/۲۲
۳	۱۶-۱۸	متوسط	متوسط	۳۵۵/۲۴	۲۲/۸
۴	۱۸-۲۲	زیاد	زیاد	۳۳۳/۳	۲۲/۳
۵	۲۲-۳۱	خیلی زیاد	خیلی زیاد	۱۴/۵	۱
مجموع				۱۴۹۳	۱۰۰

برای بررسی تأثیر هر شاخص در مقدار کل شاخص‌ها، مقدار هر شاخص بر مقدار کل ژئوایورسیتی تقسیم شد (جدول ۳). شاخص ژئومورفولوژی با میانگین ۴۴/۵ درصد بیشترین سهم را در نقشه نهایی ژئوایورسیتی دارد. شاخص‌های زمین‌شناسی، هیدرولوژی و خاک‌شناسی به ترتیب با مقادیر میانگین ۰/۲۳۳، ۰/۱۷۹ و ۰/۱۴۴ مقدار کل ژئوایورسیتی حوضه نقش داشته‌اند.

جدول ۳: مقادیر نسبی هر شاخص به مقدار کل ژئوایورسیتی

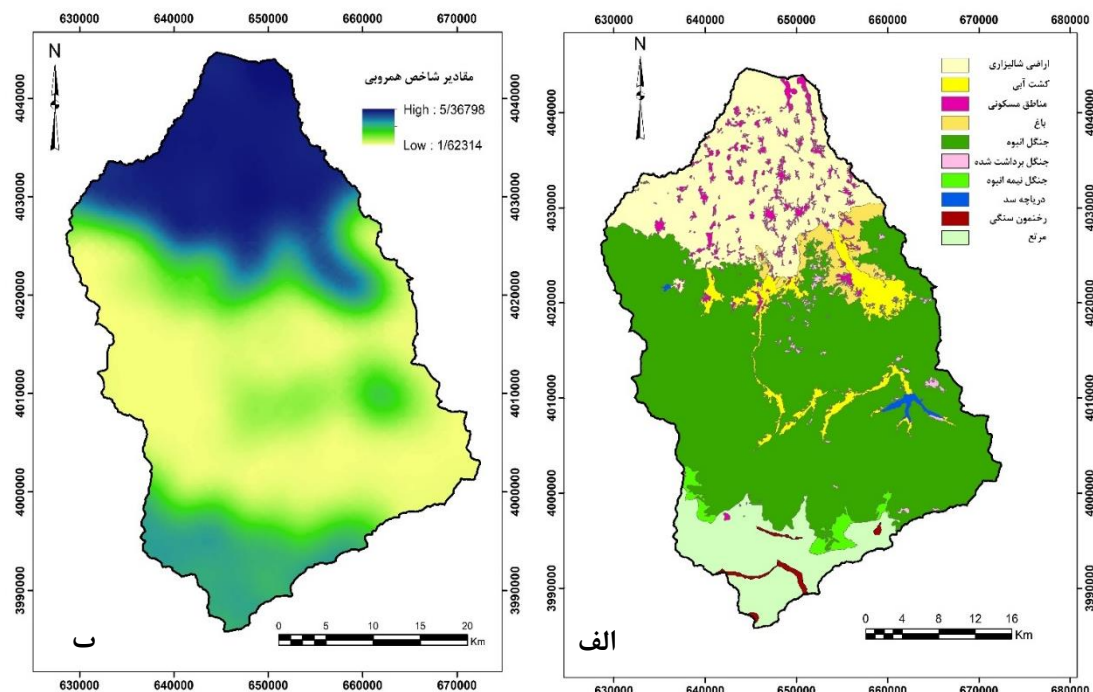
انحراف معیار	حداکثر	میانگین	حداقل	شاخص‌ها
.۰/۰۹	.۰/۶	.۰/۲۳۳	.۰/۰۶۳	زمین‌شناسی
.۰/۱۶	.۰/۸۱۸	.۰/۴۴۵	.۰/۰۸۳	ژئومورفولوژی
.۰/۰۶۷	.۰/۴	.۰/۱۴۴	.۰/۰۴۵	خاک‌شناسی
.۰/۱۳۵	.۰/۶۲۵	.۰/۱۷۹	.	هیدرولوژی



شکل ۶: نقشه ژئوایورسیتی حوضه آبریز بابلرود

شاخص همروبی: نقشه شاخص همروبی بر اساس نقشه کاربری اراضی حوضه (شکل ۷) تهیه گردید. مقادیر وزنی این شاخص از ۱/۶ (اثرات انسانی ضعیف) تا ۵/۳۶ (اثرات انسانی شدید) متغیر بوده است. قسمت‌های جلگه‌ای شمال حوضه که تحت تأثیر فعالیت‌های زیاد انسانی قرار دارند بیشترین امتیاز و مناطق مرکزی حوضه که تحت غلبه جنگلهای انبوه قرار دارد حداقل امتیاز را کسب نموده‌اند. قسمت‌های جنوبی حوضه که تحت پوشش مراتع قرار دارند در حالت متوسط قرار گرفته‌اند.

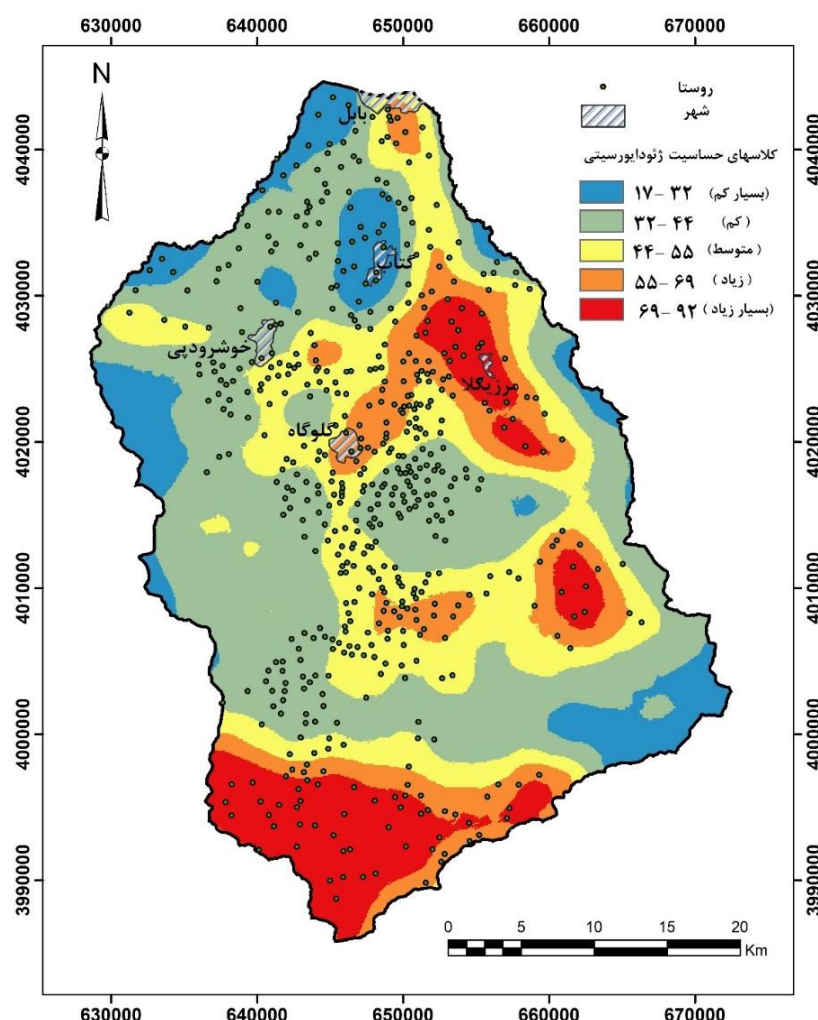
حساسیت ژئوایورسیتی: نقشه حساسیت ژئوایورسیتی از ضرب دولایه ژئوایورسیتی و شاخص همروبی حاصل گردید (شکل ۸). بر اساس این نقشه ۱۱/۳۲ و ۱۲/۲۵ درصد از مساحت حوضه به ترتیب در طبقات حساسیت بسیار زیاد (۹۲ - ۶۹) و زیاد (۵۵ - ۴۱) گرفته‌اند (جدول ۴). بیشتر این مناطق در قسمت جنوب و شرق حوضه قرار گرفته‌اند (شکل ۸). قسمت‌های جنوبی حوضه با کاربری مرتعی و قسمت‌های شرق حوضه در محل استقرار دریاچه سد البرز و پایین دست آن که کاربری زراعی دارد با داشتن ژئوایورسیتی بالا و دخالت‌های انسانی بیشترین حساسیت را دارند. مناطق جنگلی که دخالت انسانی زیاد بوده و پاک‌تراشی و تخریب صورت گرفته است در طبقه حساسیت متوسط و زیاد قرار گرفته‌اند. طبقه حساسیت کم (۳۲ - ۴۴) با ۴۱/۵ درصد از مساحت حوضه بیشترین پراکنش را در سطح حوضه داشه است. این طبقه عمدتاً در قسمت‌های دشتی شمال حوضه و مناطق جنگلی با تراکم بالا و حداقل دخالت انسانی قرار گرفته است.



شکل ۷: (الف) نقشه کاربری اراضی حوضه بابلرود، (ب) نقشه میانگین وزنی شاخص همروبی

جدول ۴: طبقه‌بندی حساسیت ژئوایورسیتی در حوضه آبریز بابلرود

ردیف	طبقه	توصیف طبقه	مساحت (Km ²)	درصد مساحت
۱	۱۷ - ۳۲	خیلی کم	۱۷۳/۶	۱۱/۶۳
۲	۳۲ - ۴۴	کم	۶۱۹/۶	۴۱/۵
۳	۴۴ - ۵۵	متوسط	۳۴۷/۹	۲۲/۳
۴	۵۵ - ۶۹	زیاد	۱۸۲/۸	۱۲/۲۵
۵	۶۹ - ۹۲	خیلی زیاد	۱۶۹/۱	۱۱/۲۲
مجموع				۱۰۰



شکل ۸: نقشه حساسیت ژئوایورسیتی حوضه آبریز بابلرود

یکی از مصادیق تخریب سرزمین، فرسایش خاک است که با فشارهای انسانی و تغییر کاربری اراضی بهشدت در حال افزایش است. از این‌رو جهت تحلیل بیشتر نقشه حساسیت ژئودایورسیتی، ضربی همبستگی این نقشه با نقشه تیپ اشکال فرسایش خاک محاسبه گردید. این ضربی به صورت پیکسل به پیکسل در نرم‌افزار GIS ARC محسابه شد و مقدار ۰/۸۱ به دست آمد که بیانگر ارتباط خوب بین این دو عامل است.

بتارد و پالواست (۲۰۱۹) شاخص تهدید سه عامل بیابان‌زایی، کاربری اراضی و مناطق حفاظتی را برای حساسیت ژئودایورسیتی مورداستفاده قرار دادند و هر کدام را در ۳ کلاس طبقه‌بندی کردند. در تحقیق حاضر، به علت عدم وجود مناطق حفاظتی این شاخص امتیاز یکسانی داشت. اما شاخص کاربری اراضی با روش طبقه‌بندی همروبی در هفت گروه با جزئیات بیشتری مورداستفاده قرار گرفت؛ لذا به نظر می‌رسد این روش می‌تواند دقیق‌ترین روش تعیین حساسیت تنوع زمینی فراهم آورد.

نتیجه‌گیری

ژئودایورسیتی هر منطقه بیانگر بخش مهمی از توان محیطی آن منطقه است. اگرچه طی سال‌های اخیر روش‌های ارزیابی ژئودایورسیتی در حال گسترش بوده است؛ اما روش‌هایی که بتواند عناصر ژئودایورسیتی را با عوامل تهدیدکننده آنها به صورت یکپارچه مورد ارزیابی قرار دهد بسیار کم و محدود بوده است. در این تحقیق، ارزیابی کمی ژئودایورسیتی با طبقه‌بندی کاربری اراضی به روش همروبی ترکیب شد و نقشه حساسیت ژئودایورسیتی حاصل شد. در نقشه حساسیت تنوع زمینی در مقیاس منطقه‌ای، مناطق با تنوع زمینی زیاد و شاخص تهدید بالا به عنوان مناطق حساس شناسایی شده‌اند. در قسمت شرقی حوضه در محل گسل البرز شمالی، تنوع سنگ‌ها به علت جابجایی‌های ایجاد شده و وجود گسل‌های فرعی و تنوع لندفرم‌ها بیشترین مقدادر ژئودایورسیتی ارزیابی شده است از طرفی دیگر با احداث سد البرز در همین محدوده و تشکیل دریاچه سد، این منطقه در بالاترین سطح حساسیت در حوضه بابلرود قرار دارد. کلاس بسیار زیاد ژئودایورسیتی ۱ درصد مساحت حوضه را شامل می‌شود این کلاس در ترکیب با عامل تهدید به ۱۱/۳ درصد افزایش یافته است که نقش عامل کاربری را ایجاد حساسیت در ژئودایورسیتی نشان می‌دهد.

تهیه چنین نقشه‌هایی به وجود لایه‌های اطلاعاتی با مقیاس مناسب و کیفیت مطلوب دارد. از این‌رو برای تعیین کلاس‌های ژئودایورسیتی لایه‌های اطلاعاتی بیشتر می‌تواند دقیق‌تر باشد ارزیابی را افزایش دهد. در نقشه ژئودایورسیتی حاصله عامل ژئومورفولوژی با ۴۴ درصد میانگین مقادیر نقش مهمی در تعیین مقادیر نهایی نقشه ژئودایورسیتی داشته است. این نگرش به ژئودایورسیتی (تهیه نقشه حساسیت ژئودایورسیتی) می‌تواند برای ایجاد برنامه‌های حفاظتی و مدیریت کاربری اراضی در مقیاس حوضه توسعه دانشمندان علوم زمین، برنامه‌ریزان و تصمیم‌سازان در مدیریت محیطی و توسعه راهبردهای مؤثر مورداستفاده قرار گیرد.

منابع

- باتجربه، م، سپهر، ع، حسین‌زاده، س. ر، ۱۳۹۷. تهیه نقشه تنوع زمینی شهرستان مشهد بر پایه اختلاف حساسیت پذیری لندفرم‌ها، پژوهش‌های ژئومورفولوژی کمی، سال ششم شماره ۲، صص ۱۱۵-۹۹.
- باتجربه، م، حسین‌زاده، س. ر، محسنی، ن، لکزیان، ا، ۱۴۰۱. ارزیابی ژئودایورسیتی حوضه آبریز رودخانه درونگر با استفاده از روش اصلاح شده سرانو و رویز-فلنو، پژوهش‌های ژئومورفولوژی کمی، سال یازدهم شماره ۳، صص ۱۰۲-۸۸.

- شایان یگانه، ع. ا، زنگنه اسدی، م. ع، امیراحمدی، ا، ۱۳۹۹. ارزیابی کمی ژئوایورسیتی ژئوپارک پیشنهادی غرب خراسان رضوی برای حفاظت از میراث زمین‌شناسی آن، آمایش جغرافیایی فضا، سال دهم شماره ۳۶، صص ۷۷-۹۰.
- صالحی پور میلانی، ع، صدوق، س. ح، رفیعی، ر، ۱۴۰۰. ارزیابی ژئوایورسیتی حوضه های آبریز مشرف به دریاچه نمک و حوض سلطان، پژوهش‌های ژئومورفولوژی کمی، سال دهم شماره ۲، صص ۸۴-۱۰۵.
- قهرودی تالی، م، علی نوری، خ، فرجادی نیا، س، ۱۴۰۱. کاربرد ژئوایورسیتی در مدیریت محیط (مطالعه موردی حوضه بالادست سد کرج)، پژوهش‌های ژئومورفولوژی کمی، سال دهم شماره ۴، صص ۱-۱۷.
- گلی مختاری، ل، نگهبان، س، شفیعی، ن، ۱۳۹۷. تحلیل مقایسه ای ژئوایورسیتی (تنوع زمین شناختی) در حوضه های شمال غربی استان فارس، پژوهش‌های ژئومورفولوژی کمی، سال هفتم شماره ۳، صص ۱۵۱-۱۶۳.
- گلی مختاری، ل، بیرامعلی، ف، ۱۳۹۷. محاسبه و تحلیل تنوع زمینی (ژئوایورسیتی) (مطالعه موردی: شهرستان اشتهراد)، پژوهش‌های جغرافیای طبیعی، دوره ۵۰ شماره ۲، صص ۳۰۷-۳۲۲.
- مختاری، د، رضایی مقدم، م. ح، اسفندیاری، م، ۱۴۰۱. شاخص ژئومورفودایورسیتی: کمی کردن تنوع چشم انداز طبیعی و لندفرم‌های کوهستان میشو، شمال غرب ایران، پژوهش‌های ژئومورفولوژی کمی، سال یازدهم شماره ۳، صص ۲۰۱۹-۲۰۰.
- مقصودی، م، مقیمی، ا، یمانی، م، رضایی، ن، مرادی، ا، ۱۳۹۸. بررسی ژئومورفولوژی آتشفسان دماوند و پیرامون آن بر اساس شاخص GMI، پژوهش‌های ژئومورفولوژی کمی، سال هشتم شماره ۱۵، صص ۵۲-۶۹.
- وزارت جهاد کشاورزی، ۱۳۹۲. مطالعات جامع منابع طبیعی و آبخیزداری حوزه آبخیز بابلرود، سازمان جنگل‌ها، مراعت و آبخیزداری کشور
- Ahmadi, M., Mokhtari, D., Khodadadi, M., & Shahabi, H. (2021). Geodiversity evaluation and geoconservation using grid analysis: case study, north of Ilam Province. *Applied Geomatics*, 13(4), 537-553.
- Ahmadi, M., Derafshi, K., Mokhtari, D., Khodadadi, M., & Najafi, E. (2022). Geodiversity Assessments and Geoconservation in the Northwest of Zagros Mountain Range, Iran: Grid and Fuzzy Method Analysis. *Geoheritage*, 14(4), 1-16.
- Benito-Calvo, A., Pérez-González, A., Magri, O., & Meza, P. (2009). Assessing regional geodiversity: the Iberian Peninsula. *Earth surface processes and landforms*, 34(10), 1433-1445.
- Bétard, F., & Peulvast, J.P. (2019). Geodiversity hotspots: Concept, method and cartographic application for geoconservation purposes at a regional scale, *Environmental management*, 63(6), 822-834.
- Carrión-Mero, P., Dueñas-Tovar, J., Jaya-Montalvo, M., Berrezueta, E., & Jiménez-Orellana, N. (2022). Geodiversity assessment to regional scale: Ecuador as a case study. *Environmental Science and Policy*, 136, 167-186.
- Coratza, P., & Hobléa, F. (2018). The specificities of geomorphological heritage. In: Reynard E., Brilha J. (Eds), *Geoheritage: Assessment, protection, and management*, Elsevier, 87-106. Waltham, in press.
- Da silva, M. L. N., do Nascimento, M. A. L., & Mansur, K. L. (2019). Quantitative assessments of geodiversity in the area of the Seridó Geopark Project, Northeast Brazil: grid and centroid analysis. *Geoheritage*, 11(3), 1177-1186.
- De Reu, J. Bourgeois, J., Bats, M., Zwervvaegher, A., Gelorini, V., De Smedt, P., et al. (2013). Application of the topographic position index to heterogeneous landscapes. *Geomorphology*, 186, 39-49.
- Ferrer-Valero, N., Hernández-Calvento, L., & Hernández-Cordero, A.I. (2017). Human impacts quantification on the coastal landforms of Gran Canaria Island (Canary Islands). *Geomorphology*, 286, 58-67.

- Gallant, J.C. (2000). Primary topographic attributes. In: Wilson, J.P., and Gallant, J.C. (Eds), *Terrain analysis: principles and application*, John Wiley & Sons, New York, pp. 51-86.
- Gonçalves, J., Mansur, K., Santos, D., Henriques, R., & Pereira, P. (2020). A discussion on the quantification and classification of geodiversity indices based on GIS methodological tests. *Geoheritage*, 12(2), 1-20.
- Gray, M., Gordon, J. E., & Brown, E. J. (2013). Geodiversity and the ecosystem approach: the contribution of geoscience in delivering integrated environmental management. *Proceedings of the Geologists' Association*, 124(4), 659-673.
- Guisan, A., Weiss, S.B., & Weiss, A.D. (1999). GLM versus CCA spatial modeling of plant species distribution. *Plant ecology*, 143(1), 107-122.
- Hjort, J., Gordon, J.E., Gray, M., & Hunter J.M.L. (2015). Why geodiversity matters in valuing nature's stage. *Conservation Biology*, 29(3), 630-639.
- Hjort, J., & Luoto, M. (2010). Geodiversity of high latitude landscapes in northern Finland. *Geomorphology*, 115, 109–116.
- Jankowski, P., Najwer, A., Zwoliński, Z., & Niesterowicz, J. (2020). Geodiversity assessment with crowdsourced data and spatial multicriteria analysis. *ISPRS International Journal of Geo-Information*, 9(12), 716.
- Nasiri, A., Shafiei, N., & Zandi, R. (2022). Evaluation of Geodiversity Across Noorabad Basin (Fars Province, Iran). *Geoheritage*, 14(4), 1-9.
- Kot, R., & Leśniak, K. (2017). Impact of different roughness coefficients applied to relief diversity evaluation: Chelmno Lakeland (Polish Lowland). *Geografiska Annaler: Series A, Physical Geography*, 99(2), 102-114.
- Manosso, F.C., Zwoliński, Z., Najwer, A., Basso, B. T., Santos, D. S., & Pagliarini, M.V. (2021). Spatial pattern of geodiversity assessment in the Marrecas River drainage basin, Paraná, Brazil. *Ecological Indicators*, 126, 107703.
- MEA (Millennium Ecosystem Assessment), 2005. *Ecosystems and Human Well-Being: A Framework for Assessment*. Island Press, Washington, DC.
- Micić Ponjiger, T., Lukić, T., Vasiljević, Đ. A., Hose, T. A., Basarin, B., Marković, S. B., & Blešić, I. (2021). Quantitative Geodiversity Assessment of the Fruška Gora Mt.(North Serbia) by Using the Geodiversity Index. *Geoheritage*, 13(3), 1-12.
- Mokarram, M., Roshan, G., & Negahban, S. (2015). Landform classification using topography position index (case study: salt dome of Korsia-Darab plain, Iran). *Modeling Earth Systems and Environment*, 1(4), 1-7.
- Najwer, A., Jankowski, P., Niesterowicz, J., & Zwoliński, Z. (2022). Geodiversity assessment with global and local spatial multicriteria analysis. *International Journal of Applied Earth Observation and Geoinformation*, 107, 102665.
- Pereira, D.I., Pereira, P., Brilha, J., & Santos, L. (2013). Geodiversity assessment of Paraná State (Brazil): an innovative approach. *Environmental management*, 52(3), 541-552.
- Santos, D.S., Mansur, K. L., Gonçalves, J. B., Junior, E. R. A., & Manosso, F. C. (2017). Quantitative assessment of geodiversity and urban growth impacts in Armação dos Búzios, Rio de Janeiro, Brazil. *Applied geography*, 85, 184-195.
- Serrano, E., & Ruiz-Flaño, P. (2007). Geodiversity: a theoretical and applied concept. *Geographica helvetica*, 62(3), 140-147.
- Sharples, C. (1993). A methodology for the identification of significant landforms and geological sites for geoconservation purposes. *Report to Forestry Commission, Hobart, Tasmania*
- Silva, J. P., Pereira, D. I., Aguiar, A. M., & Rodrigues, C. (2013). Geodiversity assessment of the Xingu drainage basin. *Journal of Maps*, 9(2), 254-262.

- Strahler, A.N. (1957). Quantitative analysis of watershed geomorphology. *Eos, Transactions American Geophysical Union*, 38(6), 913-920.
- Tukiainen, H., Alahuhta, J., Field, R., Ala-Hulkko, T., Lampinen, R., & Hjort, J. (2017). Spatial relationship between biodiversity and geodiversity across a gradient of land-use intensity in high-latitude landscapes. *Landscape Ecology*, 32(5), 1049-1063.
- Van Ree, C.C.D.F., & Van Beukering, P.J.H. (2016). Geosystem services: A concept in support of sustainable development of the subsurface. *Ecosystem services*, 20, 30-36.
- Walz, U., & Stein, C. (2014). Indicators of hemeroby for the monitoring of landscapes in Germany. *Journal for Nature Conservation*, 22(3), 279-289.
- Weiss, A. (2001). Topographic position and landforms analysis. In Poster presentation, ESRI user conference, San Diego, CA (Vol. 200).
- Zakharovskyi, V., & Németh, K. (2021). Quantitative-qualitative method for quick assessment of geodiversity. *Land*, 10(9), 946.